

### 9.12 SWO-AT - Pez espada del Atlántico

El estado de los stocks de pez espada del Atlántico norte y sur fue evaluado en septiembre de 2022 aplicando la modelación estadística a los datos disponibles hasta 2020. Puede consultarse información completa sobre la disponibilidad de datos y la evaluación en el Informe de 2002 de la reunión de preparación de datos sobre pez espada del Atlántico (ICCAT, 2022e) y en el Informe de 2022 de la reunión de evaluación de stock de pez espada del Atlántico (ICCAT, 2022f). Las estadísticas relacionadas con el pez espada del Atlántico se incluyen en el **Apéndice 5** en este Informe del SCRS y las recomendaciones relacionadas con el pez espada del Atlántico se incluyen en la sección 18.

Está previsto que la Comisión adopte un procedimiento de ordenación (MP) para el pez espada del Atlántico norte en 2024. Dado que aún no se ha elegido el MP, el texto siguiente refleja el estado del stock y el asesoramiento tal y como fue preparado por el Comité en 2022.

El desarrollo de la MSE en 2025 requiere que se desarrolle un protocolo de circunstancias excepcionales (EC) para el stock. El Comité trabajará con la Subcomisión 4, tal y como se ha solicitado, para desarrollar un protocolo de circunstancias excepcionales.

#### SWO-AT-1. Biología

El pez espada (*Xiphias gladius*) es miembro de la familia Xiphiidae y pertenece al suborden Perciformes. Puede alcanzar un peso máximo que supera los 500 kg. Presenta una amplia distribución por todo el Atlántico y el Mediterráneo. En la zona del Convenio de ICCAT, las unidades de ordenación de pez espada a efectos de evaluación son: un grupo separado en el Mediterráneo, y grupos en el Atlántico norte y sur separados en 5°N.

El pez espada se alimenta de una gran variedad de presas incluyendo peces de fondo, peces pelágicos y de aguas profundas, así como invertebrados. Se cree que se alimentan en toda la columna de agua, y a partir de estudios de marcado, se cree que realizan amplias migraciones verticales nictimerales.

El pez espada desova principalmente en aguas cálidas tropicales y subtropicales occidentales durante todo el año, aunque se ha comunicado estacionalidad en algunas de estas zonas. Durante los meses de verano y otoño se encuentra en aguas templadas más frías. Los peces espada jóvenes crecen muy rápidamente, alcanzando aproximadamente 140 cm mandíbula inferior a la horquilla (LJFL) en la edad 3, pero crecen lentamente a partir de entonces. Las hembras alcanzan una talla máxima mayor que los machos. Los estudios de marcado han demostrado que algunos peces espada viven hasta 15 años. La edad del pez espada es difícil de determinar, pero aproximadamente el 50 % de las hembras se consideran maduras en la edad 5, con una talla de unos 180 cm. Sin embargo, la información más reciente indica una talla y edad de madurez menor.

El análisis de los patrones de movimiento estacionales indican que el pez espada se desplaza generalmente hacia el ecuador para el invierno y vuelve a zonas tróficas templadas en primavera y en verano. Se sugirieron asimismo áreas más amplias de mezcla entre algunas zonas orientales y occidentales. Los resultados obtenidos mediante marcas pop-up por satélite también confirman plenamente la información anterior que estaba disponible a través de los datos pesqueros.

A partir de 2018, un programa sobre biología del pez espada de ICCAT, que abarca los tres stocks de ICCAT, ha estado realizando estudios sobre el crecimiento, la biología reproductiva y el análisis genético del pez espada para la identificación de las líneas divisorias y de la mezcla de los stocks. Desde el inicio del programa, se han tomado muestras de otolitos, de espinas de aletas, de gónadas y de otros tejidos de 4.712 peces. Las tres áreas de investigación abordan incertidumbres clave importantes para mejorar el asesoramiento científico para la ordenación de los stocks. Dentro de cada una de las áreas del proyecto se han realizado importantes avances científicos:

- Determinación de la edad y crecimiento: normas para determinar la edad de espinas y otolitos; trabajos preliminares sobre nuevos modelos de crecimiento.

- Biología reproductiva: normas para clasificar el estado reproductivo del pez espada y actualizaciones preliminares de los calendarios de madurez.
- Genética: Identificación de marcadores genéticos importantes para la diferenciación de los stocks; identificación de zonas clave de mezcla del stock en el Atlántico nororiental e identificación de subpoblaciones en el Mediterráneo.

Estos estudios biológicos del Programa anual de pez espada (SWOYP) están en curso y los estudios complementarios de las CPC contribuirán a abordar las incertidumbres en las futuras evaluaciones del estado del stock.

### ***SWO-AT-2. Indicadores de la pesquería***

Debido a la amplia distribución geográfica del pez espada del Atlántico (**SWO-AT-Figura 1**), tanto en las zonas costeras como en alta mar (que se extiende sobre todo entre 50°N y 45°S), esta especie está disponible para muchas naciones pesqueras. La **SWO-AT-Figura 2** muestra las capturas totales estimadas para el pez espada del Atlántico norte y sur. Las pesquerías de palangre dirigido de UE-España, Estados Unidos y Canadá han operado desde finales de los años cincuenta o principios de los sesenta, y las pesquerías de arpón existen desde las postrimerías del siglo XIX. Otras pesquerías dirigidas al pez espada son las de Brasil, Marruecos, Namibia, UE-Portugal y Sudáfrica. Las principales pesquerías que obtienen pez espada de forma oportunista o como captura fortuita son las flotas atuneras de Taipei Chino, Japón, Corea (Rep.) y UE-Francia. La pesquería de palangre dirigida a los túnidos comenzó en 1956, y desde esa fecha ha operado en todo el Atlántico, con importantes capturas fortuitas de pez espada durante la captura de túnidos. La mayor parte de las capturas del Atlántico se realizan con palangre de deriva superficial. Sin embargo, se utilizan otros muchos artes, como las redes de enmalle tradicionales en aguas de la costa de África occidental.

Las tendencias por área (Atlántico NE vs. Atlántico NW) en los índices de captura por unidad de esfuerzo (CPUE) fueron coherentes con los patrones de movimiento estacional observados en los datos de marcado electrónico, así como en las distribuciones de la ratio de sexos y las capturas. Las relaciones observadas para el Atlántico oriental eran opuestas a las del Atlántico occidental. Este patrón estaba correlacionado con el ciclo decenal de la Oscilación Multidecadal del Atlántico (AMO), así como con el de la Oscilación del Atlántico norte (NAO). Incluir la AMO como covariable en la capturabilidad específica del área dentro del modelo de evaluación ayudaba a reducir las direcciones conflictivas de las diversas tendencias de la captura por unidad de esfuerzo (CPUE). Se recomendó realizar más análisis y pruebas de hipótesis para determinar si esta relación se debía a la preferencia de temperatura del pez espada y a un cambio en la distribución de las presas. Para respaldar la prueba de esta hipótesis el Comité instó a un grupo de científicos de pez espada a trabajar en la fusión de los datos disponibles de la CPUE del pez espada del Atlántico norte en un único conjunto de datos para poder llevar a cabo análisis de CPUE específicos del área y más perfilados.

Tanto para el Atlántico norte como para el Atlántico sur, algunos de los índices de abundancia se vieron afectados por cambios en la tecnología de los artes y en la ordenación que no pudieron tenerse en cuenta en la estandarización de la CPUE y, por lo tanto, algunos índices tuvieron que ser separados en periodos coherentes. Informes recientes señalan la aparición de un nuevo arte (trampilla (*trap line*)) con una alta capturabilidad de pez espada y bajas capturas fortuitas comunicadas, lo que justifica su consideración por parte del Grupo de especies. El impacto de este arte debería evaluarse tan pronto como se disponga de datos.

#### *Total del Atlántico*

Las comunicaciones de capturas se consideran casi completas para 2023, sin embargo, dado que unos pocos países, que tradicionalmente responden de una pequeña porción de la captura, no han comunicado todavía sus capturas de 2023 y debido a que se desconoce el nivel de capturas no comunicadas, esta cifra debe considerarse provisional y sujeta a una revisión posterior.

#### *Atlántico norte*

Durante la última década, la captura estimada del Atlántico norte (desembarques más descartes muertos) se situó en un promedio de 10.470 t por año (**SWO-AT-Tabla 1**). La captura en 2023 (12.611 t) supone el 62 % del punto máximo alcanzado en los desembarques del Atlántico norte en 1987 (20.238 t). Esta

reducción en los desembarques se ha atribuido a las medidas de ordenación de ICCAT, a la reducción del esfuerzo total de palangre (Taylor *et al.*, 2020) y a los cambios que se han producido en la distribución de la flota, lo que incluye el desplazamiento de algunos buques en ciertos años hacia el Atlántico sur (por ejemplo, la flota de palangre de UE-España) o fuera del Atlántico. Además, algunas flotas, entre las que se incluyen por lo menos Estados Unidos, UE-España y UE-Portugal han cambiado su modo de operar para dirigirse de forma oportunista a los túnidos y/o tiburones, aprovechándose de las condiciones del mercado y de las tasas de captura relativamente más elevadas de estas especies anteriormente consideradas captura fortuita en algunas flotas. Recientemente, los factores socioeconómicos y patrones oceanográficos podrían haber contribuido también al descenso de las capturas. La cobertura de los datos de Tarea 1 y 2 es generalmente buena; sin embargo, el Comité observó la escasez de datos de descarte para la mayoría de las CPC, así como las lagunas en los datos de captura y esfuerzo para algunas CPC.

El Comité evaluó las series disponibles de CPUE del palangre, y se identificaron ciertos índices como adecuados con el fin de utilizarlos en los modelos de evaluación (Canadá, Taipei Chino, UE-Portugal, UE-España, Japón, Marruecos y Estados Unidos). Las tendencias en las series de CPUE estandarizadas de las flotas (con años terminales 2019 o 2020) que contribuyen a los modelos de evaluación de stock se muestran en la **SWO-AT-Figura 3**. La mayor parte de las series muestra una tendencia creciente a finales de los noventa, pero muestra un descenso o meseta en los años más recientes. Recientemente se han producido algunos cambios en las reglamentos de Estados Unidos (como vedas espaciotemporales para otras especies como el atún rojo del Atlántico, entre otras) que podrían haber afectado a las tasas de captura. El índice combinado utilizado en los modelos de producción excedente (JABBA; utilizado en esta evaluación, y ASPIC, utilizado como ensayo de continuidad) se muestra en la **SWO-AT-Figura 4**.

#### *Atlántico sur*

La tendencia histórica de la captura (desembarques más descartes muertos) puede dividirse en dos periodos: hasta 1980 y después de 1980. El primero se caracteriza por unas capturas relativamente bajas, generalmente inferiores a 5.000 t (con un valor medio de 1.824 t). Después de 1980, los desembarques experimentaron un incremento continuo hasta alcanzar un punto máximo de 21.931 t en 1995, niveles que son comparables con las capturas máximas del Atlántico norte (20.238 t en 1987). El aumento de los desembarques se debió en parte al desplazamiento progresivo del esfuerzo de pesca hacia el Atlántico sur, sobre todo desde el Atlántico norte, así como desde otras aguas. La expansión de las actividades pesqueras de los países costeros meridionales, como Brasil y Uruguay, también contribuyó a este incremento de las capturas. La reducción en la captura, tras la alta cifra alcanzada en 1995, se produjo como respuesta a los cambios en las reglamentaciones, y se debió parcialmente a un desplazamiento del esfuerzo hacia otros océanos y a un cambio de especie objetivo. En 2023, las capturas comunicadas (8.212 t) fueron un 62 % inferiores a las capturas declaradas de 1995 (**SWO-AT-Tabla 1**).

El Comité evaluó las series disponibles de CPUE de palangre para el Atlántico sur para la evaluación de stock de 2022 (ICCAT, 2022f) y se identificaron ciertos índices como adecuados con el fin de utilizarlos en los modelos de evaluación (Brasil, Taipei Chino, UE-España, Japón, Sudáfrica y Uruguay). Los índices disponibles pueden consultarse en **SWO-AT-Figura 5**.

#### *Descartes*

Desde 1991, muy pocas flotas han comunicado descartes de peces muertos (véase **SWO-AT-Tabla 1**). El volumen de los descartes muertos comunicados en el Atlántico norte alcanzó un máximo de 1.138 t en 2000. Los descartes muertos comunicados recientemente para el Atlántico norte son notablemente inferiores (101 t en 2021, 71 t en 2022 y 75 t en 2023). Para el Atlántico sur, los descartes comunicados alcanzaron un máximo de 147 t en 2010. En 2021, 2022 y 2023 se comunicaron 129 t, 85 t y 110 t de descartes de ejemplares muertos en el Atlántico sur, respectivamente. El Comité siguió manifestando su inquietud respecto al bajo porcentaje de flotas que ha comunicado descartes muertos anuales (en t) y por el hecho de que en muchos casos lo que se ha comunicado no se ha escalado a la totalidad de la pesquería.

**SWO-AT-3. Estado de los stocks***Atlántico norte*

En 2022, se utilizaron dos plataformas de evaluación de stock para proporcionar estimaciones del estado del stock para el pez espada del Atlántico norte, que sirvieron de base para el asesoramiento de ordenación. Estas fueron un modelo de producción excedente bayesiano (JABBA - *Just Another Bayesian Biomass Assessment*) y el modelo de evaluación integrado Stock Synthesis (SS).

El Comité indicó que esta evaluación de 2022 supone una mejora notable en la representación de la incertidumbre del estado actual del stock de pez espada del Atlántico norte, utilizando información actualizada e integrando JABBA. El Comité acordó que el asesoramiento de ordenación para el pez espada del Atlántico norte, lo que incluye el estado del stock y las proyecciones, se basara en los modelos JABBA y SS.

En 2022 se produjeron importantes avances en la modelación. En particular, el modelo SS proporcionó estimaciones del peso total de descartes de ejemplares muertos debidos al límite de talla (es decir, comunicados y no comunicados) en la estimación del estado del stock. Este análisis es coherente con la petición de la Comisión de que el SCRS realice un seguimiento y un análisis de los efectos del límite de talla mínima ([Rec. 17-02](#), párrafo 10), lo que también será útil en futuras simulaciones de MSE.

Basándose en los resultados combinados de las dos plataformas de modelos de evaluación de stock (Stock Synthesis y JABBA), la biomasa del stock de pez espada del Atlántico norte se situaba por encima de  $B_{RMS}$  (mediana  $B_{2020}/B_{RMS} = 1,08$  e intervalo de confianza (CI) del 95 % de 0,71 y 1,33) y la mortalidad por pesca se situaba por debajo de  $F_{RMS}$  (mediana  $F_{2020}/F_{RMS} = 0,80$  y CI del 95 % de 0,64 y 1,24) en 2020 (**SWO-AT-Figura 6**). La mediana del RMS se estimó en 12.819 t con un CI del 95 % de 10.864 t y 15.289 t.

El diagrama de fase de Kobe conjunto muestra que los resultados del modelo JABBA proporcionan un mayor rango de incertidumbre que los resultados de Stock Synthesis. Las probabilidades de que el stock se sitúe en cada cuadrante del diagrama de Kobe (**SWO-AT-Figura 9**) fueron del 63 % en el verde (no sobrepescado y no objeto de sobrepesca), del 22 % en el amarillo (sobrepescado pero no objeto sobrepesca) y del 15 % en el rojo (sobrepescado y objeto de sobrepesca). Los resultados señalan que el estado del stock es de no sobrepescado (37 % de probabilidades de estar sobrepescado) y sin sobrepesca (15 % de probabilidades de que se esté produciendo sobrepesca). La estimación del estado del stock en 2020 fue muy similar al estado estimado a partir de la evaluación anterior en el año terminal (2015).

*Atlántico sur*

En 2022 se utilizaron dos plataformas de evaluación de stock para evaluar el stock para el stock de pez espada del Atlántico sur. Se trata de un modelo bayesiano de producción excedente (JABBA) y de Stock Synthesis. Aunque en 2022 se exploró Stock Synthesis, sólo se utilizó el modelo JABBA para proporcionar asesoramiento.

El Comité reconoció los progresos realizados en la implementación de un modelo Stock Synthesis para el stock del sur por primera vez, pero aún es necesario revisar los datos de talla y seguir desarrollando el modelo antes de que pueda utilizarse plenamente para el asesoramiento en materia de ordenación. Como tal, el modelo Stock Synthesis se consideró preliminarmente, y el Comité acordó que la estimación del estado del stock y las proyecciones para el asesoramiento de ordenación deberían realizarse utilizando únicamente el modelo JABBA. A efectos de comparación de los resultados de los modelos de las diferentes plataformas, solo se presentan los resultados de Stock Synthesis en la **SWO-AT-Figura 7** para ilustrar la coherencia general entre los modelos.

Ambos modelos eran coherentes y sugerían un fuerte descenso de la biomasa del stock a medida que aumentaba la mortalidad por pesca en la década de los noventa. Los resultados finales de JABBA estimaron que  $B_{2020}$  se situaba también por debajo de  $B_{RMS}$  (mediana = 0,77, CI del 95 % = 0,53-1,13) y que  $F_{2020}$  estaba marginalmente por encima de  $F_{RMS}$  (mediana = 1,03, CI del 95 % = 0,67-1,51) (**SWO-AT-Figura 8**). La  $RMS_{2020}$  de JABBA se estimó en 11.481 t.

La biomasa del stock de pez espada del sur está sobrepescada y se está produciendo sobrepesca. La evaluación del caso base de JABBA indica una probabilidad del 56 % de que el stock se sitúe en el cuadrante rojo del diagrama de Kobe (**SWO-AT-Figura 10**).

#### **SWO-AT-4. Perspectivas**

##### *Atlántico norte*

Basándose en la información actualmente disponible para el Comité, se proyectaron los casos base de JABBA y Stock Synthesis hasta 2033 con escenarios de total admisible de captura (TAC) constante de 9.000 a 16.000 t, así como un escenario de cero capturas.

Para las proyecciones, se asume que las capturas para 2021 y 2022 son constantes en 10.476 t (el valor de las capturas para 2020 en el momento de la evaluación). Se proyectan diferentes niveles de capturas constantes para el periodo 2023-2033 (**SWO-AT-Tabla 2**). Las proyecciones combinadas de Stock Synthesis y JABBA muestran que una captura constante de 13.200 t, que es el nivel actual de TAC (**Rec. 22-03**, prorrogado mediante la **Rec. 23-04**), tendrá una probabilidad del 60 % de que el stock se sitúe en el cuadrante verde en 2033. Sin embargo, dado que el RMS estimado (que incluye los descartes muertos) es de 12.819 t y que  $B_{2020}/B_{RMS} = 1,08$ , niveles de capturas superiores al RMS darían lugar a descensos de la biomasa durante el periodo de proyección (**SWO-AT-Figura 11**). Conforme a la captura de 2021 (9.729 t), existe una probabilidad del 84-87 % de que el stock se situase en el cuadrante verde desde ahora hasta 2033 (**SWO-AT-Tabla 2**).

##### *Atlántico sur*

Los resultados del estado del stock de la evaluación de 2022 son similares a los de la evaluación de 2017 (**ICCAT, 2017b**), pero la información actualizada utilizada en la evaluación de 2022 dio lugar a estimaciones de un stock menos productivo ( $RMS_{2020} = 11.481$  t;  $RMS_{2015} = 14.570$  t). En concreto, se derivó objetivamente una nueva función de producción excedente asociada con una distribución previa para la tasa de crecimiento intrínseca utilizando información biológica, y se actualizaron los índices de CPUE.

Los resultados de las proyecciones de la evaluación de 2017 indicaron que si las capturas se mantenían por debajo de 11.000 t, había un 60 % de probabilidades de que el stock se situase en el cuadrante verde para 2020. La media de capturas para el periodo 2016-2020 fue de 10.125 t, aunque la evaluación sigue indicando una probabilidad del 56 % de que el stock se sitúe en el cuadrante rojo en 2020 (**SWO-AT-Figura 10**). El Comité señala que esta aparente incoherencia puede explicarse por la menor productividad (véase más arriba) del stock determinada en la evaluación de 2022.

Se realizaron proyecciones para el caso base del modelo JABBA bajo escenarios de TAC constantes de 6.000 a 15.000 t, así como un escenario de captura cero (**SWO-AT-Figura 12**). Las proyecciones se implementaron en 2023 y se asumió que las capturas de 2021 y 2022 se mantendrían constantes (9.826 t) en la media de los tres años anteriores. Utilizando este promedio de tres años (9.826 t) asumido en la evaluación de 2022, el stock de pez espada del Atlántico sur tiene una probabilidad del 55 % de situarse en el cuadrante verde del diagrama de Kobe desde ahora hasta 2033 (**SWO-AT-Tabla 3**).

#### **SWO-AT-5. Efecto de las reglamentaciones actuales**

Para el Atlántico norte, las recomendaciones más relevantes pueden consultarse en la **Rec. 23-04** que sustituye a la **Rec. 22-03** y amplía y enmienda la **Rec. 17-02**. En caso de que se adopte un procedimiento de ordenación en 2024, se espera que una nueva Recomendación sustituya a éstas. Para el Atlántico sur, las recomendaciones más relevantes pueden consultarse en la **Rec. 22-04** que enmienda la **Rec. 21-03**.

##### *Límites de captura*

La **Rec. 17-02** fijó el TAC de pez espada del Atlántico norte para 2018 en 13.200 t. Este TAC ha permanecido en vigor para 2024 (**Rec. 23-04**). La captura comunicada de 2018-2023 se ha situado en un promedio de 10.407 t y no ha superado el TAC en ningún año.

La [Rec. 17-03](#) fijó el TAC de pez espada del Atlántico sur en 14.000 t para 2018, este TAC se mantuvo en vigor de 2018 a 2022 ([Rec. 21-03](#)). La [Rec. 22-04](#) establece un TAC de 10.000 t para el pez espada del Atlántico sur para el periodo 2023-2026. La captura comunicada del periodo 2018-2023 se ha situado en un promedio de 9.303 t y no superó los TAC obligatorios en ningún año.

#### *Límites de talla mínima (Rec. 17-02)*

Existen tres opciones de talla mínima que se aplican a todo el Atlántico: 125 cm LJFL/25 kg con una tolerancia del 15 % (del número de peces espada por desembarque) o 119 cm LJFL/15 kg con una tolerancia cero y evaluación de los descartes; y para peces transformados a peso canal, una longitud de cleithrum a horquilla de 63 cm.

Desde la implementación de las tallas mínimas de desembarque en 2000, la proporción de pez espada de menos de 125 cm LJFL comunicados en los desembarques (en número) en general ha descendido en el Atlántico norte y se ha mantenido estable en el Atlántico sur. En el Atlántico norte, la estimación fue del 33 % en 2000 y descendió hasta el 23 % en 2015. En el Atlántico sur, la estimación fue del 18 % en 2000, con un máximo de hasta el 19 % en 2006, y descendió hasta un 13 % en 2015. El Comité indica que estas estimaciones se basan en pocas muestras de tallas, son inciertas y podrían estar sesgadas. Seguirán siendo inciertas hasta que las CPC comuniquen muestras de talla para la totalidad de la captura. En la **SWO-AT-Figura 13** se muestra la biomasa absoluta estimada y el número de peces, así como la proporción estimada de peces de talla inferior a la regulada que se descartan en el Atlántico norte. La tendencia decreciente puede deberse a una disminución de la tasa de encuentro de peces de talla inferior a la regulada debido a cambios en el comportamiento de la flota o a una disminución del reclutamiento a lo largo del tiempo, o a una combinación de ambos.

El Comité también observó elevados valores de mortalidad por enganche en el anzuelo (que oscilan entre el 78 y el 88 %) en pez espada pequeño (<125 cm LJFL) para algunas pesquerías de palangre de superficie que se dirigen al pez espada (**SWO-AT-Figura 14**). Se desconoce la mortalidad tras la liberación de los ejemplares descartados vivos de artes de pesca comercial. Para evaluar otras estrategias para reducir la mortalidad por pesca en los juveniles de pez espada se necesitarán conjuntos de datos completos de talla y esfuerzo pesquero para todo el Atlántico, y debería tenerse en cuenta el efecto de estas estrategias en otras especies. Dado el objetivo de la Comisión de reducir la mortalidad por pesca del pez espada pequeño, el Comité, por tanto, recomienda que se realicen futuros trabajos para determinar con mayor precisión la distribución espacial y la magnitud del esfuerzo pesquero, y la distribución de sexos y tallas de peces espada con tallas pequeñas en el Atlántico, utilizando datos de observadores con una alta resolución.

#### **SWO-AT-6. Recomendaciones sobre ordenación**

##### *Atlántico norte*

El Comité recomienda que la Comisión adopte uno de los procedimientos de ordenación probados por la MSE (véase el punto 19.27, Respuesta a la solicitud de la Comisión), y que el TAC se establezca basándose en dicho MP para 2025 y años posteriores.

En la **SWO-AT-Tabla 2** de la evaluación de 2022 se muestran las probabilidades de mantener  $B > B_{RMS}$ , de mantener  $F < F_{RMS}$ , y de mantener al stock en el cuadrante verde del diagrama de Kobe, con una gama de opciones de TAC para el pez espada del Atlántico norte durante un periodo de diez años. Las proyecciones combinadas de Stock Synthesis y JABBA muestran que una captura constante de 13.200 t, que es el nivel actual de TAC ([Rec. 23-04](#)), tendrá como resultado una probabilidad del 60 % de situar al stock en el cuadrante verde en 2033 (**SWO-AT-Tabla 2**). Sin embargo, dado que el RMS estimado (que incluye los descartes muertos) es de 12.819 t, las capturas por encima del nivel de RMS provocarán un descenso de la biomasa durante el periodo de proyección (**SWO-AT-Figura 11**).

El Comité también reconoce que en el asesoramiento anterior no se han tenido completamente en cuenta las extracciones asociadas con la mortalidad real de descartes vivos y muertos no comunicados, los traspasos de cuota (15 % para el Atlántico norte), las transferencias de cuota entre las líneas divisorias de ordenación de stocks del norte y del sur, ni la cuota acumulativa total, que incluye la captura asignada a

otras CPC, y que en caso de alcanzarse superaría al TAC. El Comité resalta que la Comisión debe tener en cuenta la importancia de esta incertidumbre a la hora de adoptar un TAC.

#### *Atlántico sur*

La **SWO-AT-Tabla 3** muestra las probabilidades de mantener  $B > B_{RMS}$ , de mantener  $F < F_{RMS}$  y de mantener el stock en el cuadrante verde del diagrama de Kobe en un rango de opciones de TAC para el pez espada del Atlántico sur durante un periodo hasta 2033, inclusive. El TAC actual de 10.000 t ([Rec. 22-04](#)) tendrá como resultado una probabilidad del 52 % de situar al stock en el cuadrante verde en 2033 (**SWO-AT-Tabla 3**). La captura comunicada para 2023 fue de 8.212 t. Los niveles de capturas inferiores a 10.000 t acelerarán la recuperación.

El Comité también reconoce que, como fue el caso del stock del norte, en el asesoramiento anterior no se han tenido completamente en cuenta las extracciones asociadas con la mortalidad de descartes de muertos y la mortalidad de descartes vivos tras la liberación no comunicada, los traspasos de cuota (30 % para el Atlántico sur), ni las transferencias de cuota entre las líneas divisorias de ordenación de stock del norte y del sur. El Comité resalta la importancia de estas incertidumbres y recomienda que se vigile de cerca el stock en los próximos años para confirmar su recuperación.

RESUMEN DEL PEZ ESPADA DEL ATLÁNTICO		
	<i>Atlántico norte</i>	<i>Atlántico sur</i>
Rendimiento máximo sostenible	12.819 t (10.864-15.289) <sup>1</sup>	11.481 t (9.793-13.265) <sup>2</sup>
TAC actual (2023)	13.200 t	10.000 t
Rendimiento actual (2023) <sup>3</sup>	12.611 t	8.212 t
Rendimiento en el último año usado en la evaluación (2020) <sup>4</sup>	10.668 t	9.020 t
$B_{RMS}$ (CI)	57.919 t (23.666-153.156) <sup>5</sup>	74.641 t (60.179-92.946) <sup>2</sup>
$F_{RMS}$	0,15 (0,08-0,23) <sup>5</sup>	0,15 (0,12 - 0,19) <sup>2</sup>
Biomasa relativa ( $B_{2020}/B_{RMS}$ )	1,08 (0,71 - 1,33) <sup>5</sup>	0,77 (0,53 - 1,11) <sup>2</sup>
Mortalidad por pesca relativa ( $F_{2020}/F_{RMS}$ )	0,80 (0,64-1,24) <sup>5</sup>	1,03 (0,67 - 1,51) <sup>2</sup>
Estado del stock (2020)	Sobrepescado: NO	Sobrepescado: SÍ
	Sobrepesca: NO	Sobrepesca: SÍ
Medidas de ordenación en vigor	TAC específicos por países <a href="#">Rec. 22-03</a> (enmendada por la <a href="#">Rec. 23-04</a> ); Talla mínima 125/119 cm LJF <sup>6</sup>	TAC específicos por países ( <a href="#">Rec. 22-04</a> ); Talla mínima 125/119 cm LJFL <sup>7</sup>

<sup>1</sup> Mediana de los casos base de los modelos JABBA y Stock Synthesis, rango correspondiente al CI del 95 % más bajo y más elevado de los dos modelos.

<sup>2</sup> Mediana y CI del 95 % del caso base del modelo JABBA.

<sup>3</sup> Provisional y sujeto a revisión.

<sup>4</sup> Basado en datos de captura disponibles en julio de 2021 para la evaluación de stock.

<sup>5</sup> Mediana y cuantiles del 95 % de los casos base de los modelos Stock Synthesis y JABBA.

<sup>6</sup> Alternativas asociadas incluidas en la [Rec. 17-02](#).

<sup>7</sup> Alternativas asociadas incluidas en la [Rec. 17-03](#).

INFORME ICCAT 2024-2025 (I)

SWO-AT-Table 1. Capturas estimadas (t) de pez espada del Atlántico (*Xiphus gladius*) por zona, arte y pabellón.

		1994	1995	1996	1997	1998	1999	2000	2001	2002	2003	2004	2005	2006	2007	2008	2009	2010	2011	2012	2013	2014	2015	2016	2017	2018	2019	2020	2021	2022	2023				
TOTAL		34460	39036	33511	27124	27181	25139	23758	24078	25153	25544	25724	27935	23472	24814	24576	23472	23914	24576	21282	20678	21097	21112	20833	19404	20337	19384	19274	19040	20823					
	ATN	13501	17105	15222	13025	12329	11622	11453	10011	9654	11444	12071	12380	11528	12306	11102	12146	11672	12709	13890	12078	10752	10501	10295	9026	10445	9785	10533	12611						
	ATS	18956	21931	18289	14542	14077	15507	15728	15178	14104	12634	13083	13163	14106	14790	13270	12668	12996	11205	10666	9784	9970	10345	10641	10537	10370	10901	8929	9488	8708	8312				
Landings	ATN	14365	15864	13822	12204	11062	10717	9922	8678	8799	10334	11410	11531	10896	11479	10394	11504	11077	11796	12976	11366	10089	10194	9913	9462	8401	9340	9746	9167	9802	11997				
	Other surf.	428	715	812	370	782	376	393	432	240	486	341	516	409	546	465	485	441	511	512	513	463	391	483	684	472	600	587	517	459	539				
	ATS	17839	21584	17859	18299	13748	14823	15448	14302	13576	11714	12558	12915	13984	15318	11980	12301	12087	10854	10255	8958	9736	10047	10461	10281	10523	9975	8814	9312	8570	8062				
	Other surf.	1119	347	429	222	269	672	278	826	527	920	523	248	212	221	384	368	361	277	277	246	189	254	148	145	27	65	66	47	52	40				
Discards	ATN	708	526	562	439	476	525	1137	896	607	618	313	323	215	273	235	151	148	392	391	199	156	167	105	149	152	304	113	99	68	74				
	Other surf.	0	0	26	12	9	4	1	6	8	5	7	10	8	8	9	7	5	9	10	0	0	0	0	0	0	0	0	2	3	1	0			
	ATS	0	0	1	21	10	6	1	0	0	0	1	0	0	91	6	0	147	74	140	0	46	43	2	111	26	50	57	128	85	110				
	Other surf.	0	0	0	0	0	0	0	0	0	0	0	0	0	0	0	0	0	0	0	0	0	0	0	0	0	0	0	0	0	0	0			
Landings	ATN	CP	Barbados	0	0	33	16	16	12	13	19	10	21	25	44	39	27	39	20	13	23	21	16	21	29	20	21	18	10	12	13	8	9		
			Belize	0	0	0	0	0	0	0	0	0	0	0	0	0	9	1	112	106	184	141	142	76	1	3	59	145	117	111	121	70	77		
			Brazil	0	0	0	0	0	0	117	0	0	0	0	0	0	0	0	0	0	0	0	0	0	0	0	0	0	0	0	0	0	0	256	
			Canada	1676	1610	739	1089	1115	1119	968	1079	959	1285	1203	1558	1404	1348	1334	1300	1346	1551	1489	1505	1604	1579	1548	1188	782	995	1334	1377	1342	1923		
			China PR	86	104	132	40	337	304	22	102	90	316	56	108	72	85	92	92	73	75	96	60	141	135	81	87	92	96	44	38	105			
			Costa Rica	0	0	0	0	1	1	0	0	1	4	3	2	4	11	6	11	23	21	22	30	34	26	44	43	23	19	51	26	27			
			Curaçao	0	0	0	0	0	0	0	0	0	0	0	0	0	0	0	0	0	0	0	0	0	0	0	0	0	0	0	0	0	0		
			Côte d'Ivoire	0	0	0	0	0	0	0	0	0	0	0	0	0	0	25	30	0	0	0	0	0	0	0	0	0	0	0	0	0	0		
			EU-España	6185	7176	5547	5140	4084	3996	4595	3968	3957	4586	5376	5521	5448	5564	4366	4949	4147	4889	5622	4084	3750	4013	3916	3586	3186	3112	3587	3235	3717	4957		
			EU-Francia	46	84	97	164	110	104	122	0	74	169	102	178	92	46	14	15	35	16	94	44	28	66	90	79	80	82	90	103	120	163		
			EU-Alemania	0	0	0	0	0	0	0	0	0	0	0	0	0	0	0	0	0	0	0	0	0	0	0	0	0	0	0	0	0	0	0	
			EU-Inglaterra	0	0	15	132	81	35	17	5	12	1	1	3	2	2	1	2	5	2	5	2	3	15	15	10	13	3	24	9	22	31		
			EU-Países Bajos	0	0	0	0	0	0	0	0	0	0	0	0	0	0	0	0	1	0	0	0	0	0	0	0	0	0	0	0	0	0	0	
			EU-Portugal	1599	1617	1703	903	773	777	732	735	766	1032	1320	900	949	778	747	898	1054	1203	882	1438	1241	1420	1460	1871	1691	2392	2070	2165	1750	1967		
			El Salvador	0	0	0	0	0	0	0	0	0	0	0	0	0	0	0	0	0	0	0	0	0	0	0	0	0	0	0	0	0	0	0	
			FR-Saint Pierre et Miquelon	0	0	0	0	0	0	0	10	3	36	48	0	82	48	17	90	1	0	18	3	0	0	0	0	0	0	0	0	0	0	78	0
			Great Britain	3	1	5	11	0	2	1	0	0	0	0	49	0	0	2	0	0	0	0	0	0	0	0	0	0	0	0	0	0	0	0	0
			Grenada	0	1	4	15	15	42	84	0	54	88	73	56	30	26	43	0	0	0	0	0	0	0	39	29	36	36	22	15	4	7	6	
			Guatemala	0	0	0	0	0	0	0	0	0	0	0	0	0	0	0	0	0	0	0	0	0	0	0	0	0	0	0	0	0	0	0	0
			Iceland	0	0	0	0	0	1	0	0	0	0	0	0	0	0	0	0	0	0	0	0	0	0	0	0	0	0	0	0	0	0	0	0
			Japan	933	1043	1494	1218	1391	1089	161	0	0	0	575	705	656	889	935	778	1062	523	639	300	545	430	379	456	325	355	406	311	491	607		
			Korea Rep	16	16	19	15	0	0	0	0	0	0	51	65	175	157	3	0	0	0	64	35	0	9	19	9	14	13	17	20	0	0		
			Liberia	26	28	28	28	28	28	0	0	0	0	0	0	0	0	0	0	0	0	0	0	0	0	18	95	5	7	3	8	0	1		
			Maroc	36	79	462	267	292	119	114	523	223	329	335	339	341	237	430	724	968	782	770	1062	1062	850	900	900	950	936	955	1085	1145			
			Mexico	14	10	22	14	28	24	37	27	34	32	44	41	31	35	34	32	35	38	40	33	32	31	36	64	44	30	21	25	22	26		
			Norway	0	0	0	0	0	0	0	0	0	0	0	0	0	0	0	0	0	0	0	0	0	0	0	0	0	0	0	0	0	0	0	0
			Panama	0	0	0	0	17	0	0	0	0	0	0	0	0	0	0	0	0	0	0	0	0	0	0	0	0	0	0	0	0	0	0	0
			Philippines	0	0	0	0	0	0	0	1	4	44	5	0	0	22	28	0	0	17	37	0	14	0	0	0	0	0	0	0	0	0	0	0
			Russian Federation	0	0	0	0	0	0	0	0	0	0	1	0	0	0	0	0	0	0	0	0	0	0	0	0	0	0	0	0	0	0	0	0
			Senegal	0	0	0	0	0	0	0	0	0	0	0	0	38	41	87	113	148	44	43	49	78	146	112	89	121	33	6	0	54			
			Sierra Leone	0	0	0	0	0	2	2	0	0	0	0	0	0	0	0	0	16	0	0	0	0	0	0	0	0	0	0	0	0	0	0	0
			St Vincent and Grenadines	0	4	3	1	0	1	0	22	22	7	7	7	7	51	7	34	13	11	8	4	40	102	33	46	26	12	7	0	2	4	0	
			Trinidad and Tobago	180	150	158	110	130	138	41	75	92	78	83	91	19	29	48	30	21	16	14	16	26	17	13	36	3	6	8	6	6	1		
			UK-Bermuda	0	1	1	5	5	3	3	2	0	0	1	1	0	3	4	3	3	1	1	1	1	1	2	1	2	2	6	5	3	4	0	
			UK-British Virgin Islands	0	0	0	0	0	0	0	0	0	0	4	4	7	0	3	0	0	0	0	0	0	0	0	0	0	0	0	0	0	0	0	0
			UK-Turks and Caicos	0	0	0	0	0	0	0	0	0	0	0	0	0	0	0	0	0	0	0	0	0	0	0	0	0	0	0	0	0	0	0	0
			USA	3366	4026	3559	2987	3058	2908	2863	2217	2384	2513	2380	2160	1873	2463	2387	2730	2274	2551	3393	2824	1809	1581	1408	1294	1135	1449	1351	1142	1281	954		
			Venezuela	69	54	85	20	37	30	44	21	34	45	53	55	22	30	11	13	24	18	25	24	24	34	57	58	36	35	16	13	17	31		
NCC			Chinese Taipei	507	489	521	509	286	285	347	399	310	257	30																					

			1994	1995	1996	1997	1998	1999	2000	2001	2002	2003	2004	2005	2006	2007	2008	2009	2010	2011	2012	2013	2014	2015	2016	2017	2018	2019	2020	2021	2022	2023				
NCO	Argentina		24	0	0	0	0	38	0	5	10	8	0	0	0	0	0	0	1	1	0	0	0	0	0	0	0	0	0	0	0					
	Benin		25	24	24	10	0	3	0	0	0	0	0	0	0	0	0	0	0	0	0	0	0	0	0	0	0	0	0	0	0					
	Cambodia		0	0	0	0	0	6	0	0	0	0	0	0	0	0	0	0	0	0	0	0	0	0	0	0	0	0	0	0	0					
	Cuba		452	778	60	60	0	0	0	0	0	0	0	0	0	0	0	0	0	0	0	0	0	0	0	0	0	0	0	0	0					
	Mixed flags (FR+ES)		0	0	0	0	0	4	0	0	0	0	0	0	0	0	0	0	0	0	0	0	0	0	0	0	0	0	0	0	0					
	Seychelles		0	0	0	0	0	0	0	0	0	6	0	0	0	0	0	0	0	0	0	0	0	0	0	0	0	0	0	0	0	0				
	Togo		14	14	64	0	0	0	0	0	0	0	9	10	2	0	0	0	0	0	0	0	0	0	0	0	0	0	0	0	0	0				
	Vanuatu		0	0	0	0	0	0	0	0	0	0	0	0	11	26	6	3	0	3	1	3	0	1	1	0	0	0	0	0	0	0				
	Discards	ATN	CP	Canada	0	0	0	5	52	35	50	26	33	79	45	106	38	61	39	9	15	8	111	59	12	8	11	21	5	2	2	3	2	3		
EU-España			0	0	0	0	0	0	0	0	0	0	0	0	0	0	0	0	0	0	0	0	0	0	0	0	0	1	0	0	0	0	0			
EU-France			0	0	0	0	0	0	0	0	0	0	0	0	0	0	0	0	0	0	0	0	0	0	0	0	0	0	0	0	0	0	0	0		
EU-Portugal			0	0	0	0	0	0	0	0	0	0	0	0	0	0	0	0	0	0	0	0	0	0	0	0	0	0	0	0	1	3	1	1		
Japan			0	0	0	0	0	0	598	567	319	263	0	0	0	0	0	0	0	0	0	0	0	0	0	0	0	0	7	5	4	2	3	3		
Korea Rep			0	0	0	0	0	0	0	0	0	0	0	0	0	0	0	0	0	0	0	170	46	19	0	2	0	0	0	0	0	0	0	0		
Mexico			0	0	0	0	0	0	0	0	0	0	0	0	0	0	0	0	0	0	0	1	0	0	0	0	0	0	0	0	0	0	0	0		
UK-Bermuda			0	0	0	0	0	0	0	0	0	0	0	0	0	0	0	0	0	0	0	0	0	0	0	0	0	0	0	0	0	0	0	0		
USA			708	526	588	446	433	494	490	308	263	282	275	227	185	220	205	148	138	223	217	120	137	137	90	111	140	287	91	90	59	55	55			
NCC			Chinese Taipei	0	0	0	0	0	0	0	0	0	0	0	0	0	0	0	0	0	0	0	27	0	7	18	4	18	7	7	14	2	5	13		
ATS			CP	Brazil	0	0	0	0	0	0	0	0	0	0	0	0	0	0	91	6	0	0	0	0	0	0	0	0	0	0	0	0	0	0	0	
				EU-España	0	0	0	0	0	0	0	0	0	0	0	0	0	0	0	0	0	0	0	0	0	0	0	0	0	1	1	1	1	0	0	
				EU-France	0	0	0	0	0	0	0	0	0	0	0	0	0	0	0	0	0	0	0	0	0	0	0	0	0	1	0	0	0	0	0	
				Japan	0	0	0	0	0	0	0	0	0	0	0	0	0	0	0	0	0	0	0	0	0	0	0	0	0	0	0	0	2	0	0	0
				Korea Rep	0	0	0	0	0	0	0	0	0	0	0	0	0	0	0	0	0	0	0	147	70	23	0	0	0	0	0	0	0	0	0	0
	South Africa	0		0	0	0	0	0	0	0	0	0	0	0	0	0	0	0	0	0	0	0	0	0	0	0	0	0	0	0	0	0	0	0	0	
NCC	USA	0	0	1	21	10	6	1	0	0	1	0	0	0	0	0	0	0	0	0	0	0	0	0	0	0	0	0	0	0	0	0	0			
NCC	Chinese Taipei	0	0	0	0	0	0	0	0	0	0	0	0	0	0	0	0	0	0	4	117	0	45	43	2	111	26	49	57	126	85	110				

**SWO-AT-Tabla 2.** Probabilidades conjuntas de que el nivel del stock de pez espada del Atlántico norte se sitúe por debajo de  $F_{RMS}$  (superior: no se está produciendo sobrepesca), por encima de  $B_{RMS}$  (centro: no sobrepescado), y por encima de  $B_{RMS}$  y por debajo de  $F_{RMS}$  (inferior: zona verde) en un año determinado para un nivel de capturas dado, basadas en 30.000 iteraciones de la aproximación MVLN para Stock Synthesis y en iteraciones MCMC de JABBA.

Probability $F < F_{MSY}$											
TAC (t)	2023	2024	2025	2026	2027	2028	2029	2030	2031	2032	2033
0t	100%	100%	100%	100%	100%	100%	100%	100%	100%	100%	100%
9000t	94%	94%	94%	94%	94%	94%	94%	94%	94%	94%	94%
10000t	90%	90%	90%	90%	90%	90%	90%	90%	90%	90%	90%
11000t	85%	85%	85%	85%	85%	85%	85%	85%	85%	85%	85%
12000t	79%	79%	79%	79%	79%	80%	80%	80%	79%	79%	79%
12500t	76%	76%	76%	76%	76%	76%	76%	76%	76%	76%	76%
12600t	75%	75%	75%	75%	75%	75%	75%	76%	75%	75%	75%
12700t	74%	74%	74%	74%	74%	74%	74%	74%	74%	74%	74%
12800t	74%	73%	73%	73%	73%	73%	73%	73%	73%	73%	73%
12900t	73%	72%	72%	72%	72%	72%	72%	72%	71%	71%	71%
13000t	72%	71%	71%	71%	71%	70%	70%	70%	69%	69%	68%
13100t	71%	70%	70%	69%	69%	68%	68%	67%	66%	66%	65%
13200t	70%	69%	69%	68%	67%	66%	65%	64%	63%	62%	61%
13300t	69%	68%	67%	66%	65%	63%	62%	61%	59%	58%	56%
13400t	68%	66%	65%	64%	62%	60%	59%	57%	55%	53%	51%
13500t	66%	65%	63%	61%	59%	57%	55%	53%	51%	48%	46%
13600t	65%	63%	61%	59%	56%	54%	51%	49%	46%	43%	41%
13700t	63%	61%	59%	56%	53%	50%	47%	44%	41%	38%	36%
13800t	62%	59%	56%	53%	50%	46%	43%	40%	37%	34%	32%
14000t	58%	55%	51%	47%	43%	39%	35%	32%	29%	27%	25%
15000t	38%	31%	25%	21%	25%	32%	32%	31%	31%	30%	29%
16000t	20%	15%	12%	11%	10%	10%	10%	9%	9%	9%	9%

Probability $B > B_{MSY}$											
TAC (t)	2023	2024	2025	2026	2027	2028	2029	2030	2031	2032	2033
0t	75%	84%	90%	94%	96%	97%	98%	98%	99%	99%	99%
9000t	75%	78%	80%	82%	83%	84%	85%	86%	86%	87%	87%
10000t	75%	77%	79%	80%	81%	82%	83%	83%	83%	84%	84%
11000t	75%	76%	77%	78%	79%	79%	80%	80%	81%	81%	81%
12000t	75%	75%	76%	76%	77%	77%	77%	77%	77%	77%	77%
12500t	75%	75%	75%	75%	75%	75%	75%	75%	75%	75%	75%
12600t	75%	75%	75%	75%	75%	75%	75%	75%	75%	75%	75%
12700t	75%	75%	74%	74%	74%	74%	74%	74%	74%	74%	74%
12800t	75%	74%	74%	74%	74%	74%	74%	74%	74%	73%	73%
12900t	75%	74%	74%	74%	73%	73%	73%	73%	73%	72%	72%
13000t	75%	74%	74%	73%	73%	73%	72%	72%	72%	71%	71%
13100t	75%	74%	73%	73%	72%	72%	72%	71%	70%	70%	69%
13200t	75%	74%	73%	72%	72%	71%	71%	70%	69%	68%	67%
13300t	75%	74%	73%	72%	71%	70%	69%	68%	67%	66%	65%
13400t	75%	74%	73%	72%	70%	70%	68%	67%	65%	64%	62%
13500t	75%	74%	72%	71%	70%	68%	67%	65%	63%	61%	59%
13600t	74%	74%	72%	71%	69%	67%	65%	63%	61%	58%	55%
13700t	74%	73%	72%	70%	68%	66%	64%	61%	58%	55%	52%
13800t	74%	73%	71%	70%	67%	65%	62%	59%	55%	52%	48%
14000t	74%	73%	71%	68%	65%	62%	58%	54%	50%	45%	41%
15000t	74%	71%	66%	59%	47%	44%	42%	41%	39%	38%	36%
16000t	74%	69%	59%	48%	36%	27%	21%	18%	16%	15%	14%

Probability $F < F_{MSY}$ and $B > B_{MSY}$											
TAC (t)	2023	2024	2025	2026	2027	2028	2029	2030	2031	2032	2033
0t	75%	84%	90%	94%	96%	97%	98%	98%	99%	99%	99%
9000t	75%	78%	80%	82%	83%	84%	85%	86%	86%	87%	87%
10000t	75%	77%	79%	80%	81%	82%	83%	83%	83%	84%	84%
11000t	75%	76%	77%	78%	79%	79%	80%	80%	80%	81%	81%
12000t	74%	75%	75%	76%	76%	76%	77%	77%	77%	77%	77%
12500t	73%	73%	74%	74%	74%	74%	74%	75%	75%	75%	75%
12600t	73%	73%	73%	73%	74%	74%	74%	74%	74%	74%	74%
12700t	72%	72%	73%	73%	73%	73%	73%	73%	73%	73%	73%
12800t	72%	72%	72%	72%	72%	72%	72%	72%	72%	72%	72%
12900t	71%	71%	71%	71%	71%	71%	71%	71%	70%	70%	70%
13000t	70%	70%	70%	70%	70%	69%	69%	69%	68%	68%	67%
13100t	70%	69%	69%	69%	68%	67%	67%	66%	66%	65%	64%
13200t	69%	68%	68%	67%	66%	65%	64%	63%	62%	61%	60%
13300t	68%	67%	66%	65%	64%	63%	61%	60%	59%	57%	56%
13400t	67%	66%	64%	63%	61%	60%	58%	56%	54%	53%	51%
13500t	66%	64%	62%	61%	59%	57%	55%	53%	50%	48%	46%
13600t	64%	62%	60%	58%	56%	53%	51%	48%	46%	43%	40%
13700t	63%	61%	58%	55%	53%	50%	47%	44%	41%	38%	36%
13800t	61%	59%	56%	53%	49%	46%	43%	40%	37%	34%	32%
14000t	58%	55%	51%	47%	43%	39%	35%	32%	29%	27%	25%
15000t	38%	31%	25%	21%	22%	32%	30%	29%	27%	26%	25%
16000t	20%	15%	12%	11%	10%	10%	10%	9%	9%	9%	9%

**SWO-AT-Tabla 3.** Probabilidades de proyección estimadas (%) para el caso de referencia de modelo para el pez espada del Atlántico sur. Se proporcionan probabilidades de la proyección para  $F \leq F_{RMS}$  (superior);  $B > B_{RMS}$  (centro);  $F \leq F_{RMS}$  y  $B > B_{RMS}$  (inferior). Se realizaron proyecciones estocásticas para el periodo 2023-2033 con una serie de TAC fijos (6.000 - 15.000 t), incluyendo un escenario de captura cero. Se asumió que las capturas de 2021 y 2022 se situaban en 9.826 t, que es la media de las capturas comunicadas de 2018 a 2020.

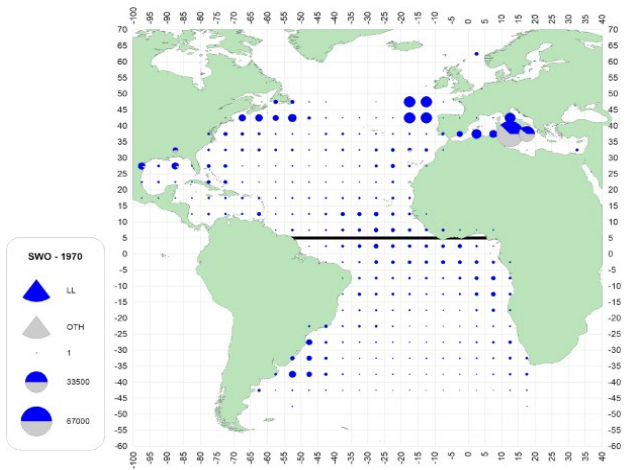
Probability $F \leq F_{MSY}$												
TAC (t)	2023	2024	2025	2026	2027	2028	2029	2030	2031	2032	2033	
0	100%	100%	100%	100%	100%	100%	100%	100%	100%	100%	100%	
6000	95%	97%	98%	98%	99%	99%	99%	99%	100%	100%	100%	
6500	92%	94%	96%	97%	98%	98%	99%	99%	99%	99%	99%	
7000	88%	91%	93%	95%	96%	97%	97%	98%	98%	98%	98%	
7500	82%	86%	89%	91%	93%	94%	95%	96%	96%	97%	97%	
8000	75%	80%	83%	86%	88%	90%	91%	92%	93%	94%	95%	
8500	68%	72%	76%	79%	82%	84%	85%	87%	88%	89%	90%	
9000	59%	64%	68%	71%	74%	76%	78%	80%	81%	83%	84%	
9500	51%	55%	59%	62%	65%	67%	69%	71%	72%	74%	75%	
9826	46%	50%	53%	56%	58%	60%	62%	64%	65%	67%	68%	
10000	43%	47%	49%	52%	54%	57%	59%	60%	62%	64%	65%	
10500	35%	38%	40%	42%	44%	46%	48%	49%	50%	52%	53%	
11000	29%	31%	32%	33%	35%	36%	37%	38%	39%	40%	40%	
11500	23%	24%	25%	25%	26%	27%	27%	28%	28%	29%	29%	
12000	18%	18%	19%	19%	19%	19%	19%	20%	20%	20%	20%	
12500	13%	14%	14%	14%	14%	14%	14%	13%	13%	13%	13%	
13000	11%	10%	10%	10%	10%	10%	9%	9%	9%	9%	9%	
13500	8%	8%	7%	7%	7%	6%	6%	6%	6%	6%	5%	
14000	6%	6%	5%	5%	5%	4%	4%	4%	4%	3%	3%	
14500	5%	4%	4%	3%	3%	3%	3%	2%	2%	2%	2%	
15000	4%	3%	3%	2%	2%	2%	2%	2%	1%	1%	1%	

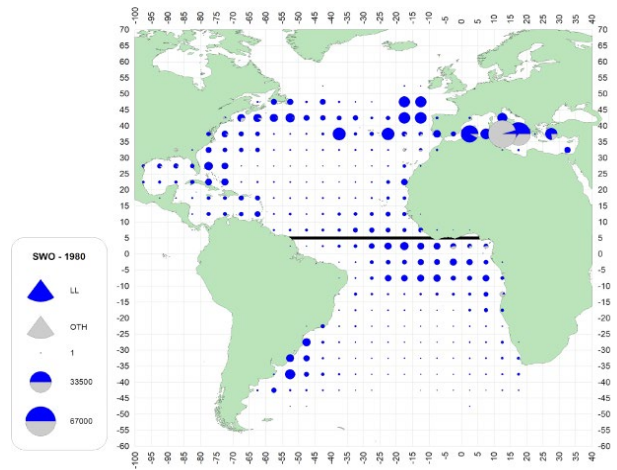
Probability $B > B_{MSY}$												
TAC (t)	2023	2024	2025	2026	2027	2028	2029	2030	2031	2032	2033	
0	21%	48%	74%	90%	96%	99%	99%	100%	100%	100%	100%	
6000	21%	33%	46%	59%	70%	77%	83%	88%	92%	94%	95%	
6500	21%	32%	44%	56%	66%	74%	80%	85%	88%	91%	93%	
7000	21%	31%	41%	52%	62%	70%	75%	80%	85%	88%	90%	
7500	21%	30%	39%	48%	57%	65%	70%	76%	80%	83%	86%	
8000	21%	29%	37%	45%	53%	60%	65%	70%	74%	78%	81%	
8500	21%	28%	34%	41%	48%	54%	59%	64%	68%	72%	75%	
9000	21%	27%	32%	38%	44%	49%	53%	58%	61%	65%	68%	
9500	21%	26%	31%	35%	39%	44%	48%	51%	55%	58%	60%	
9826	21%	25%	29%	33%	36%	40%	43%	47%	50%	52%	55%	
10000	21%	25%	29%	32%	35%	39%	41%	45%	47%	49%	52%	
10500	21%	24%	27%	29%	31%	34%	36%	38%	40%	41%	43%	
11000	21%	23%	25%	26%	28%	29%	30%	32%	33%	34%	35%	
11500	21%	22%	23%	24%	24%	25%	25%	26%	26%	27%	27%	
12000	21%	21%	21%	21%	21%	21%	21%	21%	21%	21%	21%	
12500	21%	20%	19%	19%	18%	18%	17%	17%	16%	16%	16%	
13000	21%	19%	18%	17%	16%	15%	14%	13%	13%	12%	12%	
13500	21%	18%	17%	15%	14%	12%	11%	10%	10%	9%	9%	
14000	21%	18%	15%	13%	12%	10%	9%	8%	7%	7%	6%	
14500	21%	17%	14%	12%	10%	8%	7%	6%	6%	5%	4%	
15000	21%	16%	13%	10%	8%	7%	6%	5%	4%	3%	3%	

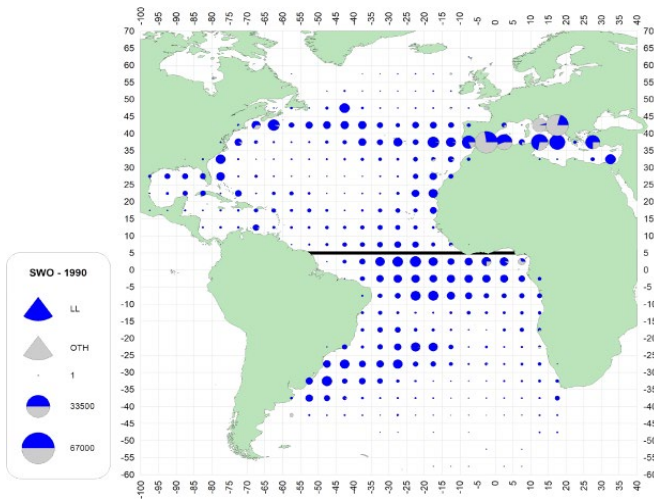
Probability $F \leq F_{MSY}$ and $B > B_{MSY}$												
TAC (t)	2023	2024	2025	2026	2027	2028	2029	2030	2031	2032	2033	
0	21%	48%	74%	90%	96%	99%	99%	100%	100%	100%	100%	
6000	21%	33%	46%	59%	70%	77%	83%	88%	92%	94%	95%	
6500	21%	32%	44%	56%	66%	74%	80%	85%	88%	91%	93%	
7000	21%	31%	41%	52%	62%	70%	75%	80%	85%	88%	90%	
7500	21%	30%	39%	48%	57%	65%	70%	76%	80%	83%	86%	
8000	21%	29%	37%	45%	53%	60%	65%	70%	74%	78%	81%	
8500	21%	28%	34%	41%	48%	54%	59%	64%	68%	72%	75%	
9000	21%	27%	32%	38%	44%	49%	53%	58%	61%	65%	68%	
9500	21%	26%	31%	35%	39%	44%	48%	51%	55%	58%	60%	
9826	21%	25%	29%	33%	36%	40%	43%	47%	50%	52%	55%	
10000	20%	25%	28%	32%	35%	39%	41%	45%	47%	49%	52%	
10500	20%	23%	26%	29%	31%	33%	35%	38%	40%	41%	43%	
11000	20%	22%	24%	25%	27%	28%	30%	31%	32%	33%	35%	
11500	18%	19%	21%	22%	23%	23%	24%	24%	25%	26%	26%	
12000	16%	16%	17%	18%	18%	18%	18%	18%	19%	19%	19%	
12500	13%	13%	13%	13%	13%	13%	13%	13%	13%	13%	13%	
13000	10%	10%	10%	10%	9%	9%	9%	9%	9%	9%	8%	
13500	8%	8%	7%	7%	7%	6%	6%	6%	6%	5%	5%	
14000	6%	6%	5%	5%	5%	4%	4%	4%	4%	3%	3%	
14500	5%	4%	4%	3%	3%	3%	3%	2%	2%	2%	2%	
15000	4%	3%	3%	2%	2%	2%	2%	2%	1%	1%	1%	



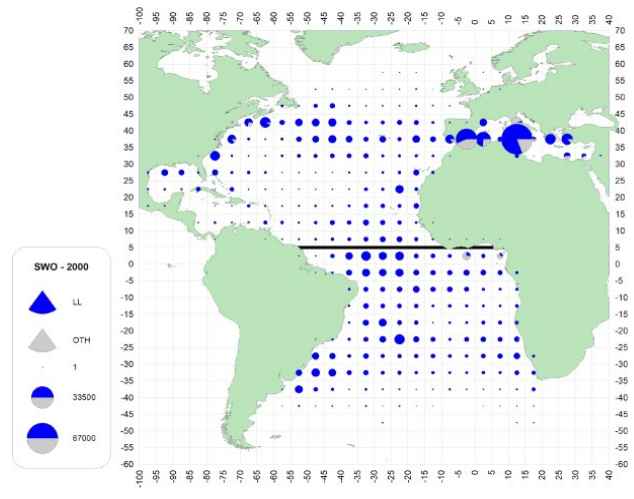
a. SWO (1970-79)



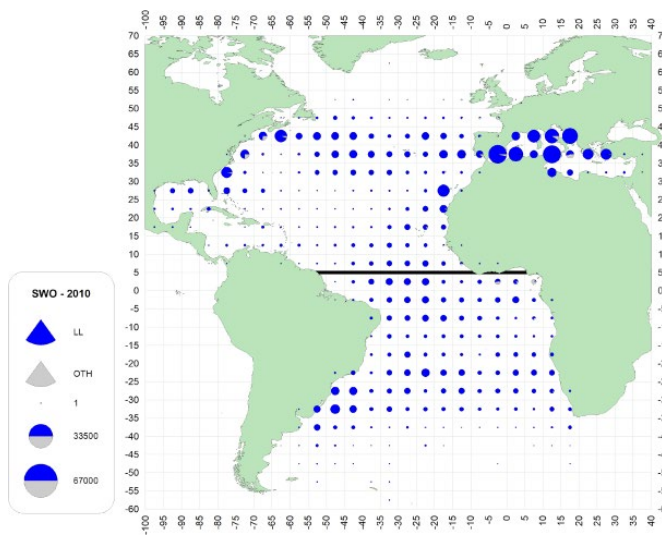
b. SWO (1980-89)



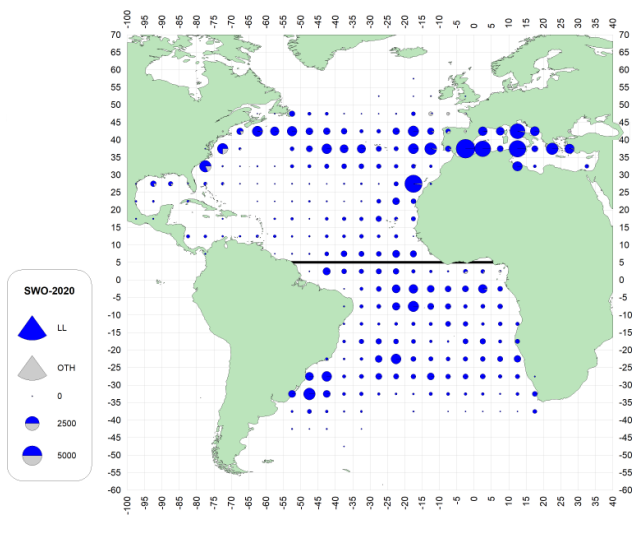
c. SWO (1990-99)



d. SWO (2000-09)

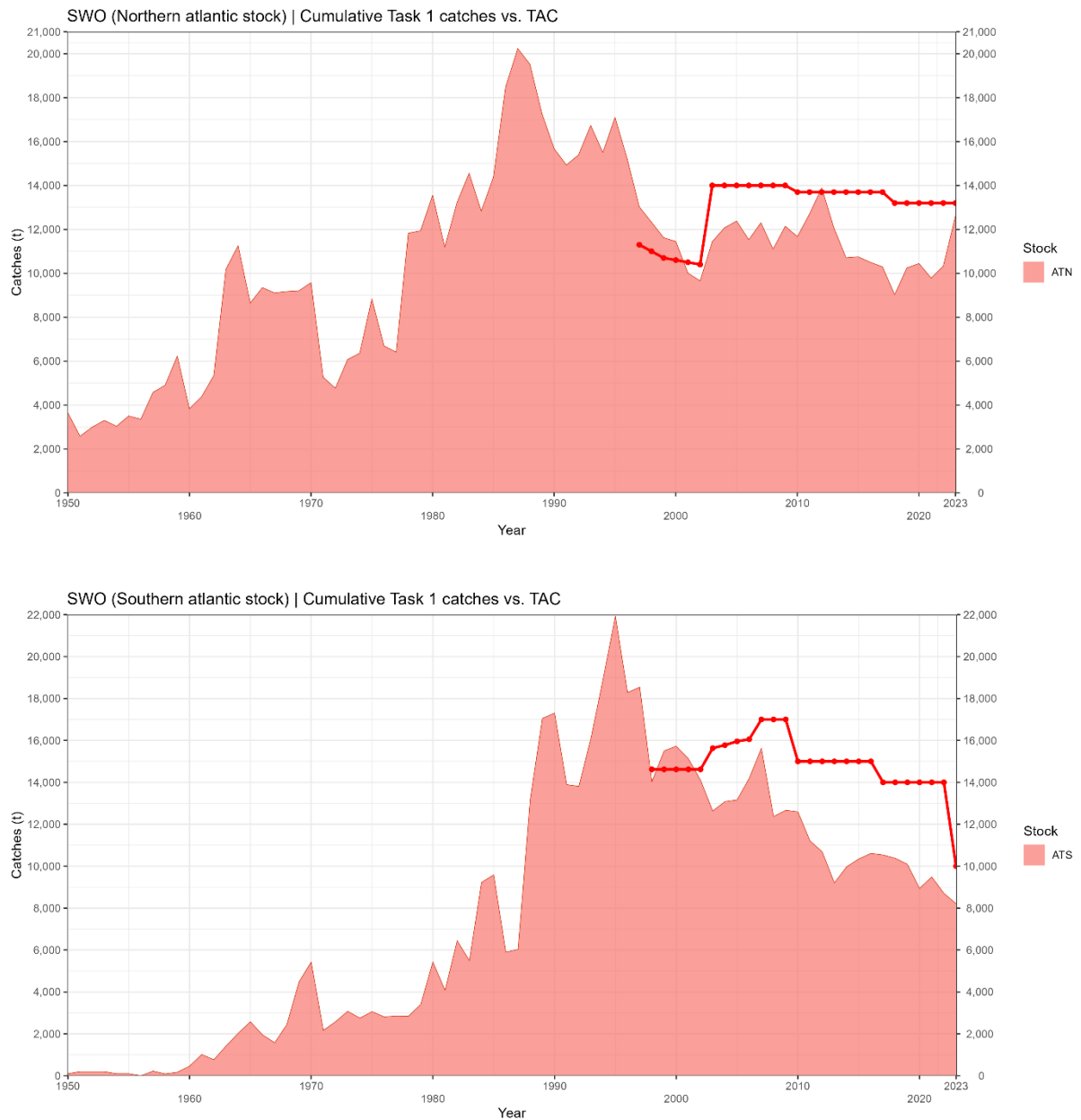


e. SWO (2010-19)

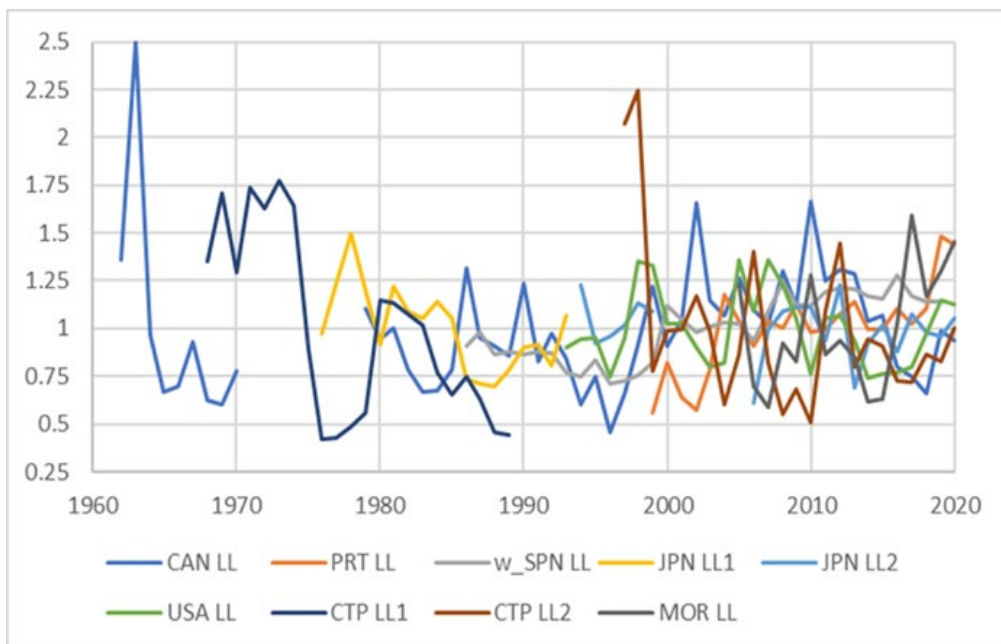


f. SWO (2020-22)

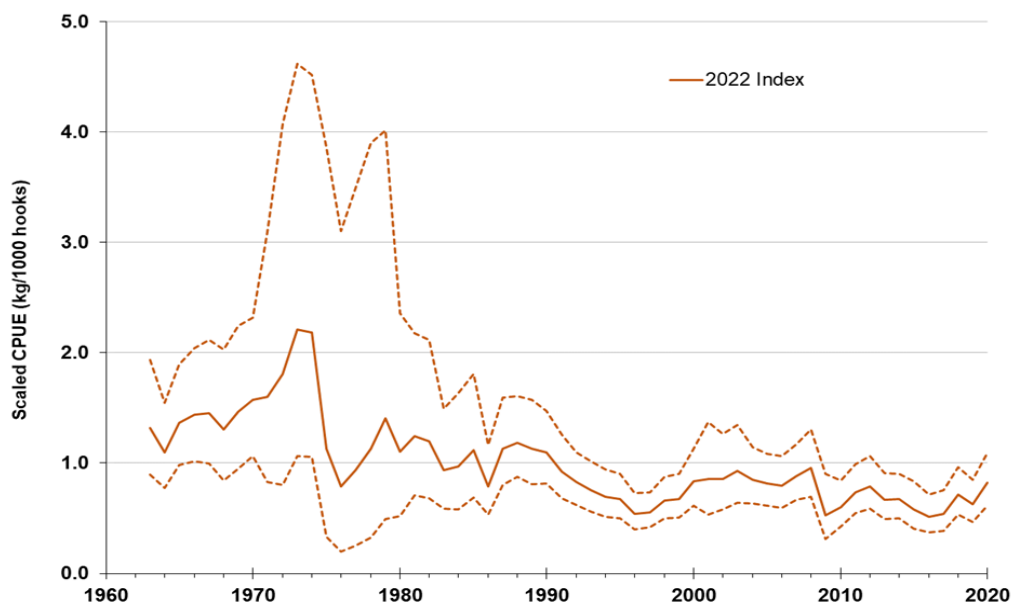
**SWO-AT-Figura 1.** Distribución geográfica de la captura acumulada (t) de pez espada, por arte, en la zona del Convenio, por décadas. Los mapas están escalados a la captura máxima observada en 1970-2022 (la última década solo cubre tres años).



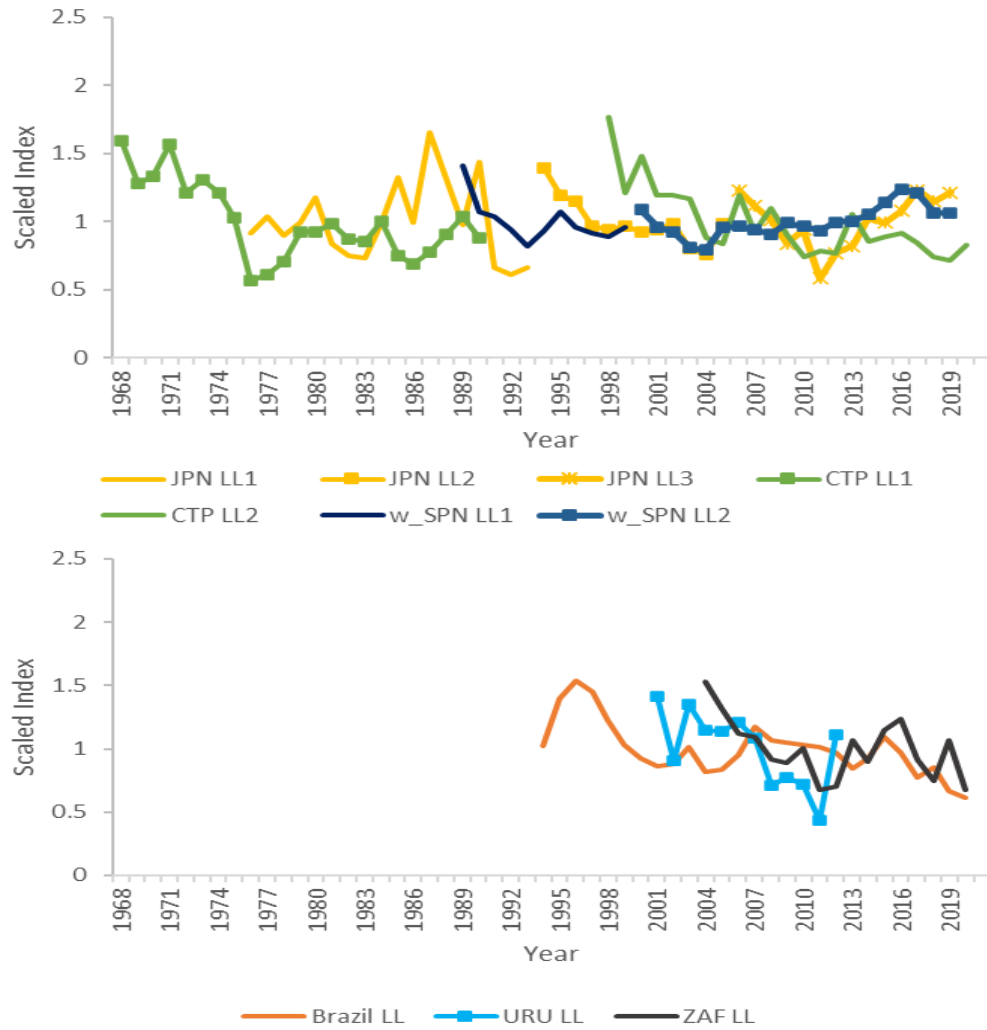
**SWO-AT-Figura 2.** Capturas de pez espada del Atlántico norte (arriba) y sur (abajo) (t, desembarques y descartes de ejemplares muertos) y TAC (t), para el periodo 1950-2023. Las líneas rojas de puntos indican el TAC.



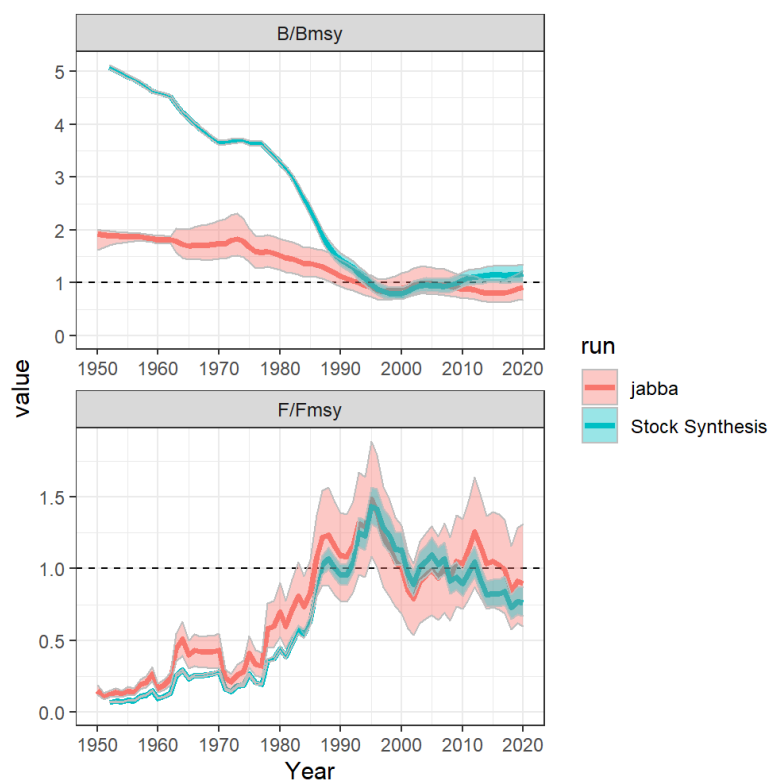
**SWO-AT-Figura 3.** Series de CPUE estandarizadas facilitadas por las CPC para el pez espada del Atlántico norte del caso base de continuidad del modelo de producción. Las series de CPUE se escalaron a su media con fines comparativos.



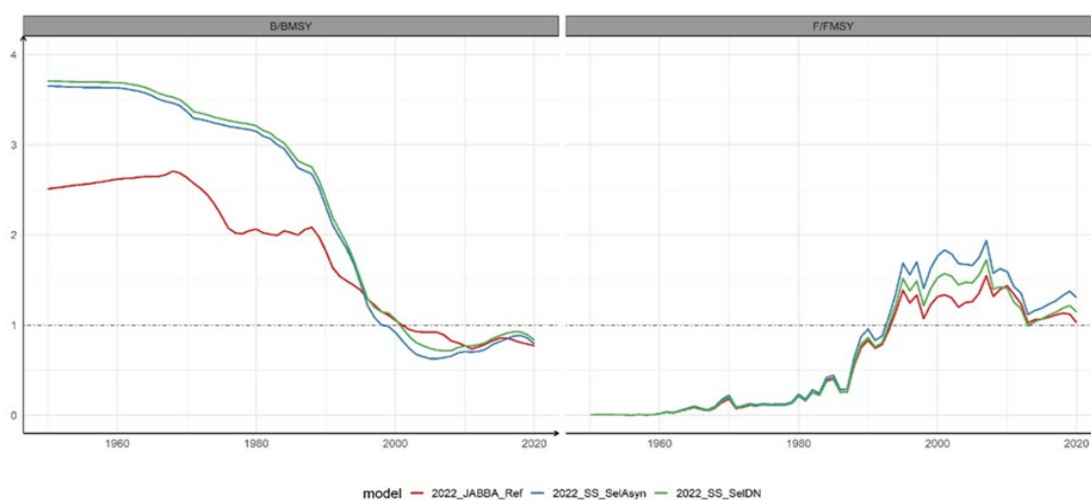
**SWO-AT-Figura 4.** Índice de biomasa combinado de CPUE estandarizada del pez espada para el Atlántico norte e intervalos de confianza del 95 % utilizados en la evaluación de 2022 como ensayo de continuidad en los modelos de producción.



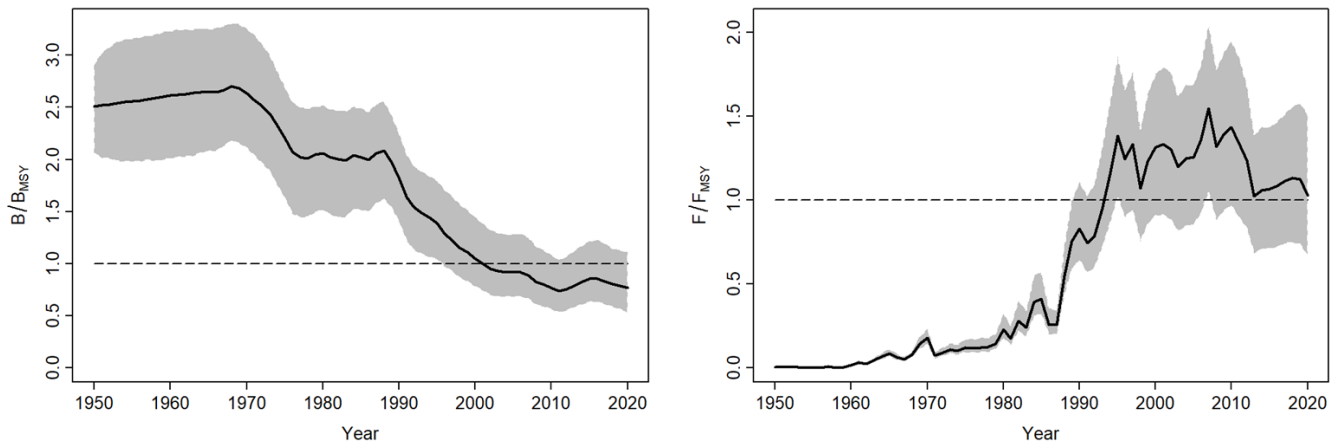
**SWO-AT-Figura 5.** Series de CPUE estandarizadas que se utilizaron en la evaluación del pez espada del Atlántico sur de 2022. Los índices que se dividieron (JPN, EU-SPN y CTP) se muestran en la parte superior, y el resto (BRA, URU y ZAF) se muestran en la parte inferior. Las series de CPUE se escalaron a su media con fines comparativos.



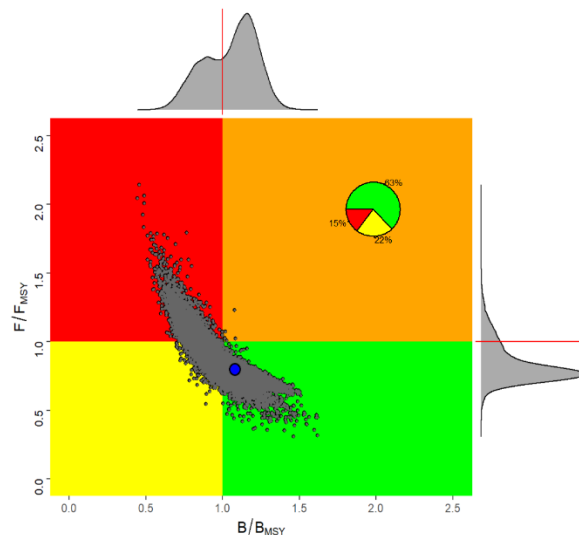
**SWO-AT-Figura 6.** Resultados de los dos modelos utilizados para el asesoramiento de ordenación en la evaluación del pez espada del Atlántico norte: JABBA y Stock Synthesis. Tendencias en la biomasa relativa (arriba) y en la mortalidad por pesca (abajo). Los intervalos de incertidumbre son aproximaciones de los intervalos de credibilidad del 95 %.



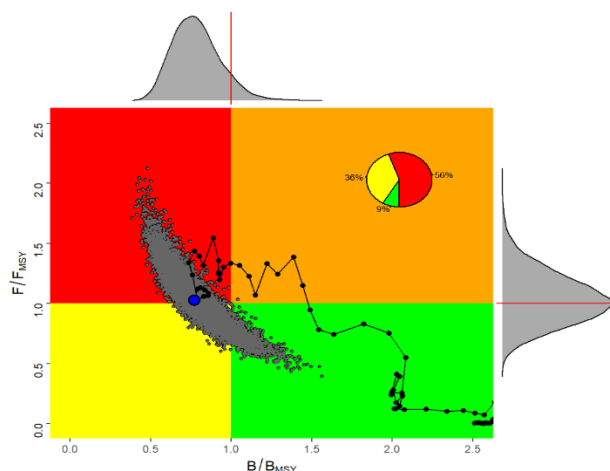
**SWO-AT-Figura 7.** Comparaciones de  $B/B_{RMS}$  y  $F/F_{RMS}$  entre el caso base de JABBA y dos ensayos de Stock Synthesis para el stock de pez espada del Atlántico sur.



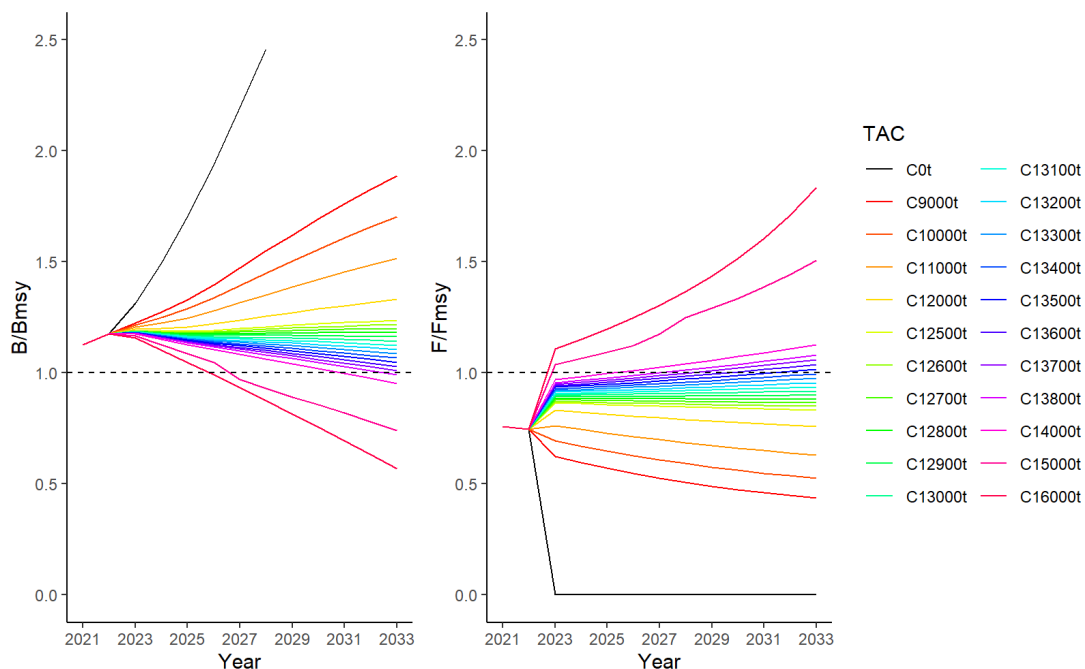
**SWO-AT-Figura 8.** Tasas de mortalidad por pesca y biomasa del pez espada del Atlántico sur con respecto a los niveles del RMS, a partir del caso base del modelo JABBA. Las zonas sombreadas en gris representan intervalos de credibilidad del 95 %.



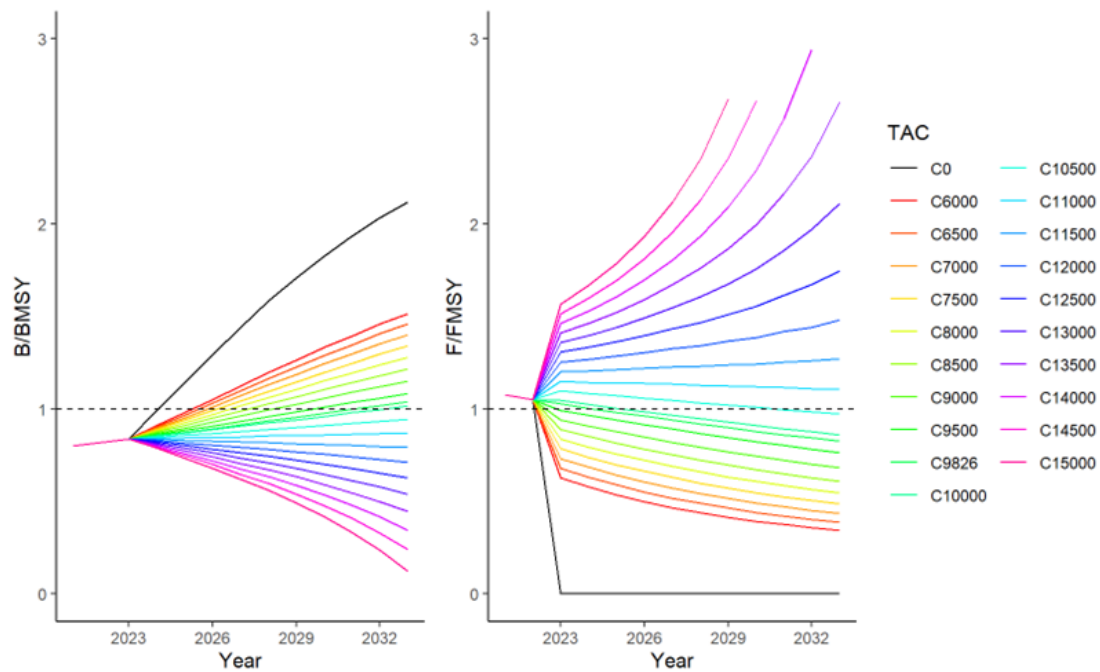
**SWO-AT-Figura 9.** Diagrama conjunto de Kobe para los casos de referencia de los modelos Stock Synthesis y JABBA para el stock de pez espada del Atlántico norte. Para el ensayo de Stock Synthesis, el nivel de referencia se calcula a partir de la selectividad específica del año y las asignaciones de la flota, y se basa en 15.000 iteraciones MVLN para Stock Synthesis y 15.000 iteraciones cadena Markov Monte Carlo (MCMC) para JABBA. El punto azul muestra la mediana de 30.000 iteraciones para  $SSB_{2020}/SSB_{RMS}$  o  $B_{2020}/B_{RMS}$  y  $F_{2020}/F_{RMS}$  para todas las iteraciones de Stock Synthesis y JABBA. Los puntos grises representan las estimaciones de 2020 de la mortalidad por pesca relativa y de la biomasa relativa del stock reproductor para 2020 para cada una de las 30.000 iteraciones. El gráfico superior representa la distribución de frecuencia suavizada de las estimaciones de  $SSB_{2020}/SSB_{RMS}$  o  $B_{2020}/B_{RMS}$ . El gráfico a la derecha representa la distribución de frecuencia suavizada de las estimaciones de  $F_{2020}/F_{RMS}$ . El gráfico de tarta insertado representa el porcentaje de cada estimación de 2020 que se inscribe en cada cuadrante del diagrama de Kobe. Todas las SSB para Stock Synthesis mostraron los valores al final de los años. El punto azul muestra la mediana del estado del stock en 2020.



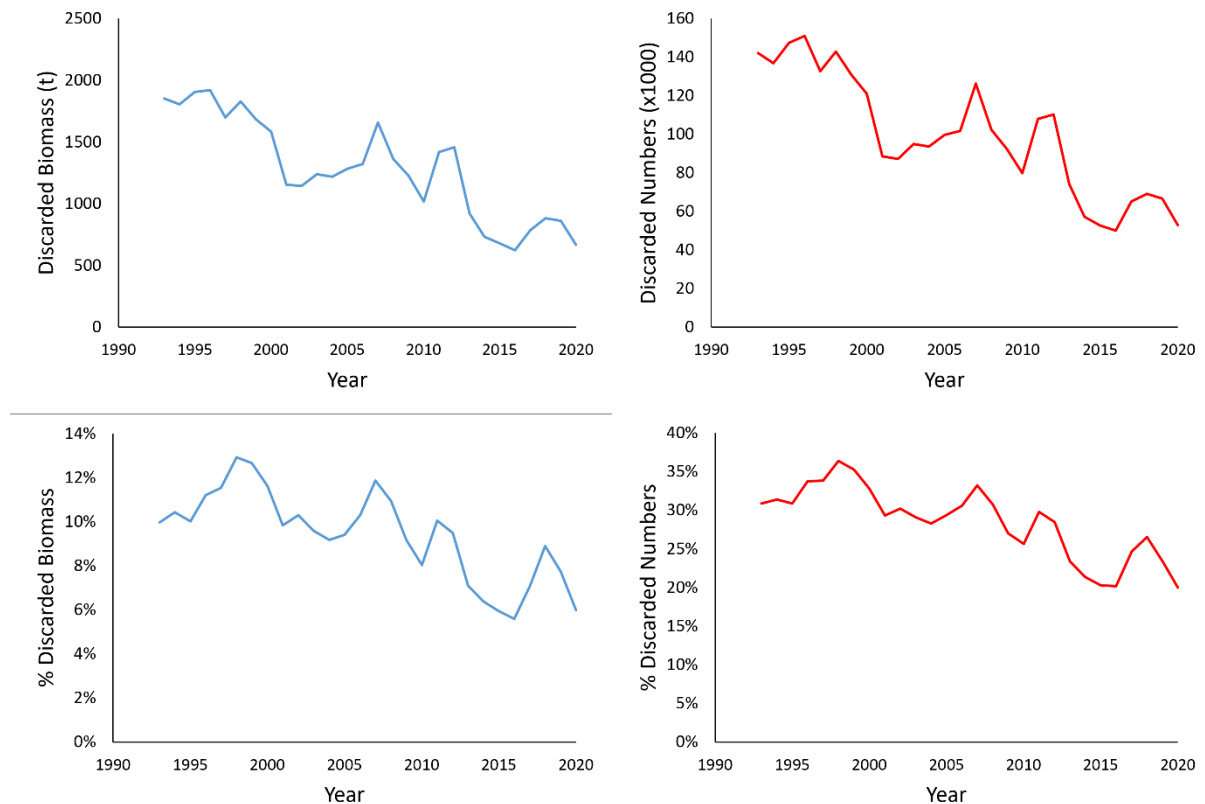
**SWO-AT-Figura 10.** Diagrama de Kobe para el caso de referencia del modelo JABBA para el pez espada del Atlántico sur. El círculo sólido azul es la mediana de las estimaciones con las respectivas incertidumbres en el año terminal (2020). El diagrama de tarta representa las probabilidades de que el stock se sitúe en los diferentes cuadrantes de colores (rojo 56 %, amarillo 36 %, verde 9 %). El punto azul representa del estado del stock en 2020.



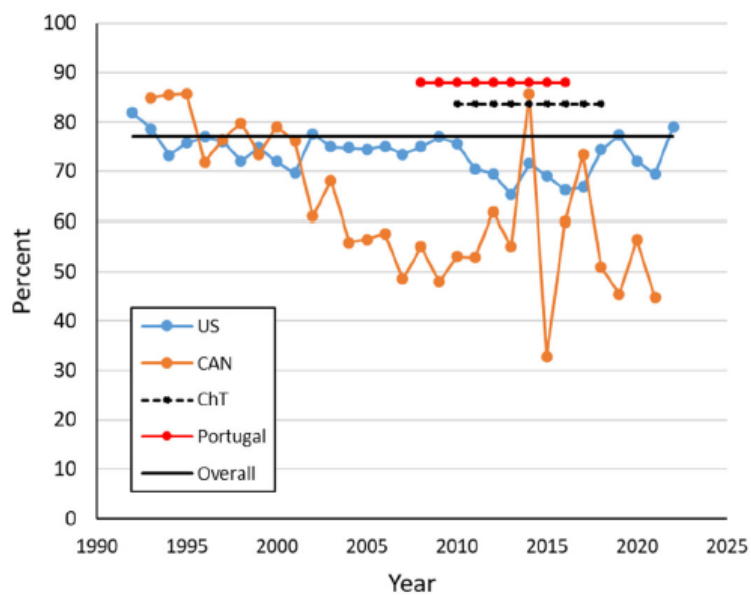
**SWO-AT-Figura 11.** Proyecciones conjuntas de Stock Synthesis y JABBA de la biomasa (o biomasa del stock reproductor) con TAC constantes de 0, 9.000-16.000 t para el stock de pez espada del Atlántico norte para el periodo 2023-2033.



**SWO-AT-Figura 12.** Tendencias de la mediana de la biomasa relativa ( $B/B_{RMS}$ ) para el stock de pez espada del Atlántico sur obtenidas a partir del caso base del modelo JABBA con TAC constantes de 0, 6.000-15.000 t para el periodo 2023- 2033.



**SWO-AT-Figura 13.** Estimación de los descartes totales debidos a la regulación de la talla mínima en biomasa absoluta y números (fila superior) y en biomasa y números como proporción de la captura (fila inferior) para los años 1992 a 2020, según las estimaciones de Stock Synthesis.



**SWO-AT-Figura 14.** Observaciones directas de la mortalidad en la virada de peces por debajo de la talla mínima en cuatro flotas de palangre que operan en el Atlántico norte.